

Jozef VISKUP¹

**POROVNANIE SPEKTIER SEIZMICKEJ ODOZVY Z JEDNEJ A Z TROCH
ZLOŽIEK AKCELEROGRAMU**

**COMPARISON OF SEISMIC RESPONSE SPECTRA FOR ONE AND THREE
COMPONENTS OF ACCELEROGRAMS**

Abstrakt

Vstupní akcelerogram je jedním ze vstupních dat pro výpočet spektra odezvy. Obvykle se používá pouze jedna ze tří složek, a to horizontální složka s větší maximální hodnotou zrychlení. Do seismického software lze vkládat různé akcelerogramy, pouze však jen jedna složka. Při použití všech tří složek získáváme různá spektra odezvy.

Abstract

Input accelerogram is one of the input data for seismic response spectra computations. Usually only one component from all three components is applied, usually the he horizontal component with higher value of peak ground acceleration. As part of seismic software are attached different accelerograms but only one component. Applying all three components the different seismic response spectra are obtained.

Úvod

Vo výpočtoch seismického zaťaženia je jeden zo vstupných údajov pre výpočet seismickej sily seismické zrychlenie, ktoré sa v súčasnosti stanovuje zo spektra seismickej odozvy. Spektrum seismickej odozvy sa stanovuje z akcelerogramu zemetrasenia.

Z publikovanej literatúry [1], [2], [3] je zrejmé, že autori použili vo výpočtoch iba jeden akcelerogram zemetrasenia, avšak môžeme sa iba domnievať, že použili tú s vyššou hodnotou špičkového zrychlenia z reálne zaznamenaných troch zložiek akcelerogramu. Tak isto ku komerčným programom (D-MOD_2, DEEPSOIL, FLUSH, OPENSEES, SHAKE 98, SUMDESS, TESS, TELDYN) sa dodávajú akcelerogramy, zvyčajne však iba jedna zložka a tiež možno iba predpokladať, že je to tá s vyššou hodnotou špičkového zrychlenia. V STN 73 0036 v čl. 4.3.3.2.5 [4] sa uvádzá, že minimálne dva trojzložkové akcelerogramy sa použijú na riešenie seismickej odozvy konštrukcie. Použitie viacerých zložiek vo výpočtoch vyžaduje viac času na získanie a prípravu vstupných údajov, na výpočty i na vyhodnotenie údajov. Cieľom štúdie bolo zistiť, či je podstatný rozdiel v hodnotách spektier seismickej odozvy pre jednu zložku a pre všetky tri zložky akcelerogramu.

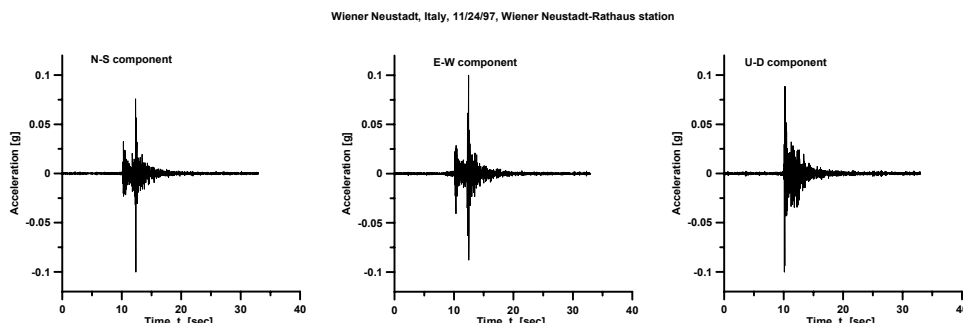
¹ RNDr. Jozef Viskup, CSc., Univerzita Komenského, Prírodovedecká fakulta, Mlynská dolina, Bratislava, Slovensko, viskup@nic.fns.uniba.sk

Vstupné akcelerogramy zemetrasení

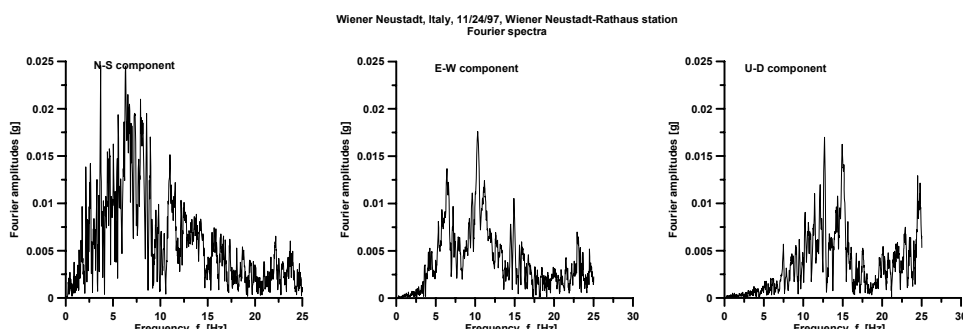
Vstupný akcelerogram má dôležitý význam pre výpočet spektier seismickej odozvy, nakoľko spektrum seismickej odozvy na voľnom povrchu terénu závisí nielen od lokálnych geologických pomerov, ale i od vstupného akcelerogramu a to nielen od jeho špičkovej hodnoty zrýchlenia, ale aj od jeho spektrálneho zloženia [5].

Za účelom porovnania spektier seismickej porovnali sme spektrá seismickej odozvy 3 rôznych trojzložkových akcelerogramov, obsahujúcich zložky sever-juh (N-S North-South), východ-západ (E-W East-West) a vertikálnu zložku (U-D up-down). Uzávereňa magnitúda zemetrasenia, ktorá bola uvedená ku akcelerogramom, nie je vždy tá istá, raz bola uvedená magnitúda objemových vín Mb, inokedy magnitúda momentová Mw alebo magnitúda lokálna MI či magnitúda povrchových vín Ms.

Prvý akcelerogram bol zo zemetrasenia s ohniskom vo Viedenskom Novom Meste (Wiener Neustadt, Mb = 3.7), ktoré bolo 24.11.1997 a zaznamenané bolo na seismickej stanici na radnici vo Viedenskom Novom Meste (Wiener Neustadt-Rathaus), zložky akcelerogramu tohto zemetrasenia sú uvedené na obr.1, ich Fourierove spektrá sú na obr.2.



Obr. 1 Akcelerogramy zemetrasenia s ohniskom vo Viedenskom Novom Meste

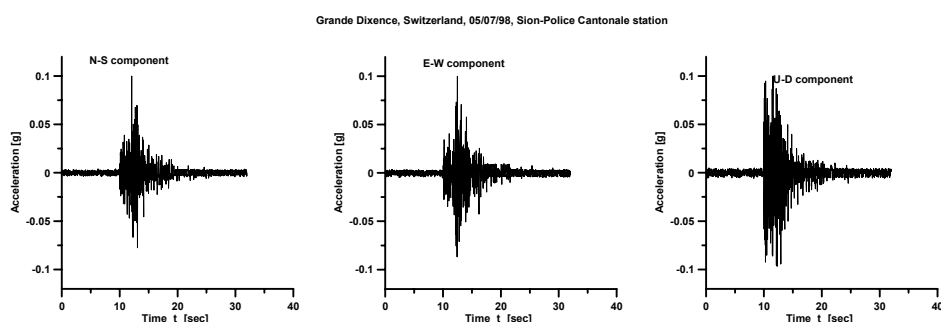


Obr. 2 Fourierove spektrá akcelerogramov zemetrasenia s ohniskom vo Viedenskom Novom Meste

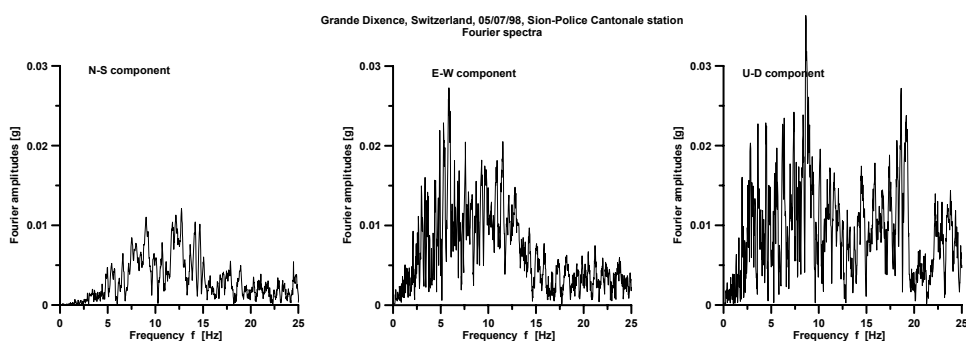
Porovnaním Fourierových spektier akcelerogramov zemetrasenia s ohniskom vo Viedenskom Novom meste vidno, že zložka N-S má prevažne frekvencie 5-12 Hz, zložka E-W má prevažne frekvencie v oblasti 10-16 Hz, vertikálna zložka má prevažne frekvencie 10-19 a okolo 25 Hz.

Ďalší akcelerogram použitý vo výpočtoch bol akcelerogram zemetrasenia s ohniskom vo Švajčiarsku v Grande Dixence 7. 5.1998 ($M_w = 3.1$), ktoré bolo zaznamenané na seismickej stanici Sion-Police Cantonale, zložky akcelerogramu tohto zemetrasenia sú uvedené na obr. 3, ich Fourierove spektrá sú na obr. 4.

Porovnaním Fourierových spektier akcelerogramov zemetrasenia s ohniskom vo Švajčiarsku v Grande Dixence vidno, že zložka N-S má prevažne frekvencie 7.5-15 Hz, zložka E-W má prevažne frekvencie v oblasti 2.5-12.5 Hz, vertikálna zložka má prevažne frekvencie 2.5-19 Hz.



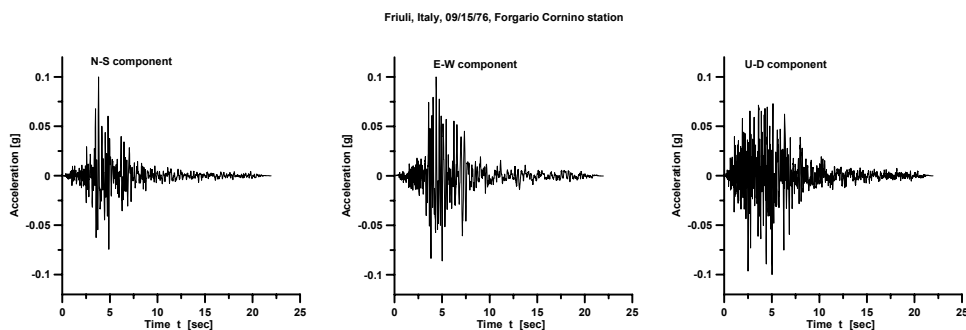
Obr. 3 Akcelerogramy zemetrasenia s ohniskom vo Švajčiarsku v Grande Dixence



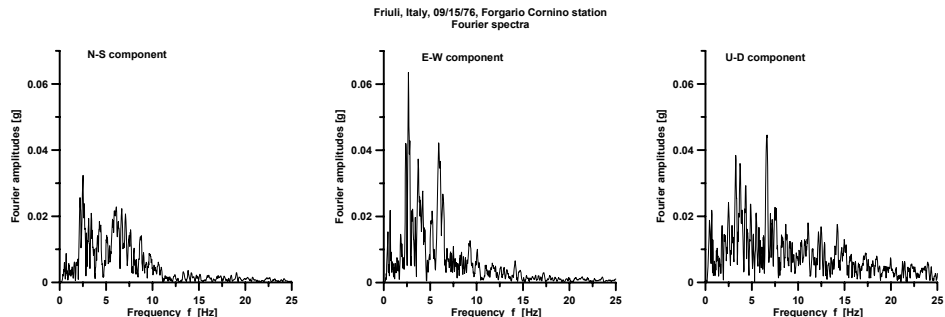
Obr. 4 Fourierove spektrá akcelerogramov zemetrasenia s ohniskom vo Švajčiarsku v Grande Dixence

Tretí akcelerogram použitý vo výpočtoch bol akcelerogram zemetrasenie s ohniskom v Taliansku vo Friuli 15.9.1973 ($M_I = 6.1$, $M_S = 5.7$), ktoré bolo

zaznamenané na seismickej stanici Forgaria Cornino, zložky tohto akcelerogramu zemetrasenia sú uvedené na obr. 5, ich Fourierove spektrá sú na obr. 6.



Obr. 5 Akcelerogramy zemetrasenia s ohniskom v Taliansku vo Friuli



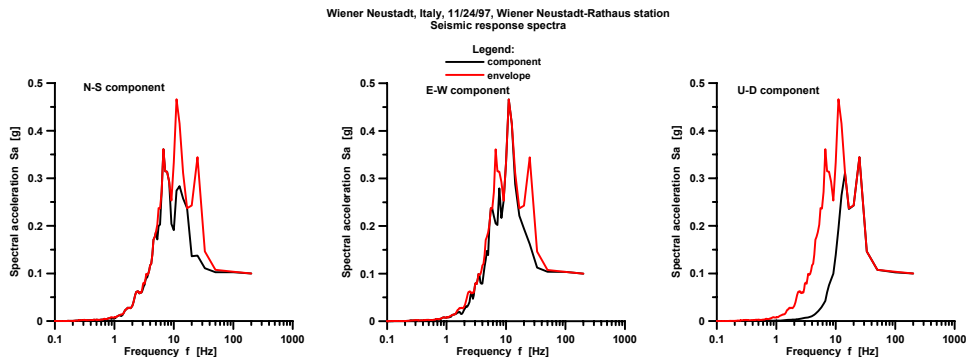
Obr. 6 Fourierove spektrá akcelerogramov zemetrasenia s ohniskom v Taliansku vo Friuli

Porovnaním Fourierových spektier akcelerogramov zemetrasenia s ohniskom v Taliansku vo Friuli vidno, že zložka N-S má prevažne frekvencie 2.5-7 Hz, zložka E-W má prevažne frekvencie v oblasti 2.5-7 Hz, vertikálna zložka má prevažne frekvencie 2.5-7.5 Hz.

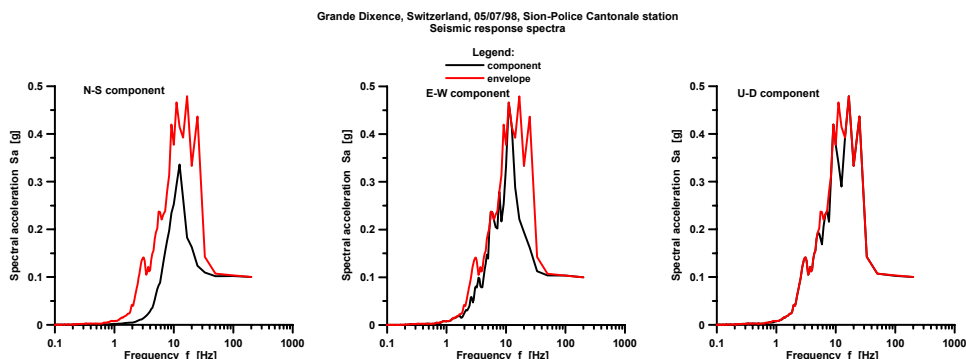
Spektrá seismickej odozvy

Spektrum seismickej odozvy sa odvádza z akcelerogramu zemetrasenia. Nevýhodou spektra seismickej odozvy je, že nevystihuje, koľkokrát sa uvedená hodnota na seismickom zázname objaví, či je to iba jedenkrát „akási“ vyskočená hodnota, alebo či je to viackrát sa vyskytujúca hodnota. Rozhodne by bolo vhodnejšie na výpočet seismickeho zaťaženia využiť akcelerogramy zemetrasení, avšak pre určitý typ konštrukcií a určitú úroveň výpočtov je postačujúce použiť spektrá seismickej odozvy, výpočet akcelerogramu v jednotlivých bodoch konštrukcie by bolo vhodné iba pre konštrukcie kategórie významnosti I a II, pre konštrukcie významnosti III a IV je postačujúce použiť spektrá seismickej odozvy. Spektrá seismickej odozvy sa používajú

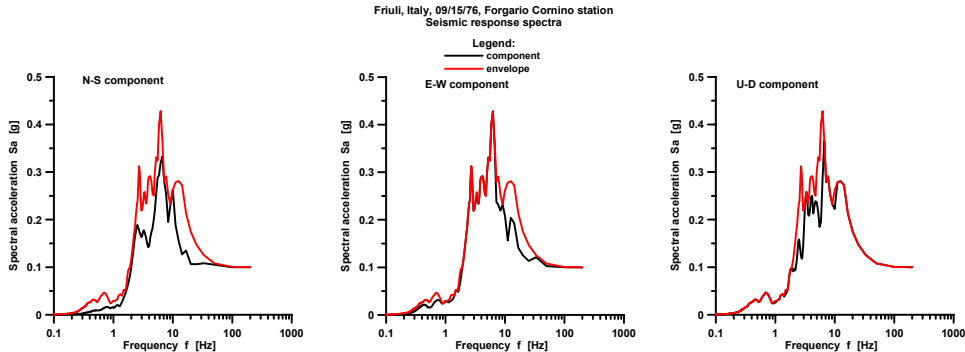
nielen v STN 73 0036 [4], ale i v Eurocode 8 [6], [7], nemeckej DIN 4149 [8], [9], švajčiarskej SIA 160 [10], rakúskej Štandardnej norme 4015 [11], [12] a ďalších doporučeniacach [13].



Obr.7 Spektrá seismickej odozvy zemetrasenia s ohniskom vo Viedenskom Novom Meste



Obr.8 Spektrá seismickej odozvy zemetrasenia s ohniskom vo Švajčiarsku v Grande Dixence



Obr. 9 Spektrá seismickej odozvy zemetrasenia s ohniskom v Taliansku vo Friuli

Spektrum seismickej odozvy a ďalšie parametre seismického pohybu sa počítajú z akcelerogramu zemetrasenia [14].

Na obr.7 sú uvedené spektrá seismickej odozvy zemetrasenia s ohniskom vo Viedenskom Novom Meste, na obr.8. s ohniskom vo Švajčiarsku v Grande Dixence a na obr.9 s ohniskom v Taliansku vo Friuli pre jednotlivé zložky. Červenou farbou sú uvedené obálky všetkých troch zložiek tohto istého akcelerogramu.

Záver

Porovnaním obr.7, obr.8 a obr.9 vidno, že použitie iba jednej zložky akcelerogramu nepostihuje celý frekvenčný rozsah vlnenia kmitania. Frekvenčné spektrum jednotlivých zložiek akcelerogramu je odlišné a následne aj vypočítané spektrá seismickej odozvy sa navzájom medzi sebou líšia. Pre správne posúdenie seismického ohrozenia lokality je potrebné použiť vo výpočtoch všetky tri zložky vstupného akcelerogramu, stanoviť obálku týchto akcelerogramov a vo výpočtoch seismického zaťaženia použiť hodnotu spektrálneho zrýchlenia stanoveného z tejto obálky. Použitie iba jednej zložky akcelerogramu, ktorý býva súčasťou programov na výpočet seismickej odozvy geologických štruktúr, napr. SHAKE98 [15], SHAKE2000 [16], TELYN [17], atď. nie je postačujúce, vedie to k nesprávnemu stanoveniu spektra seismickej odozvy, k zníženiu hodnôt spektrálneho zrýchlenia a následne k zníženiu seismickej odolnosti konštrukcie. Preto sme vo výpočtoch lokálnych spektier seismickej odozvy pre vysoké budovy v Bratislave používali všetky tri zložky akcelerogramov [18], [19], [20], podobne pre dôležité konštrukcie, napr. mosty [21].

Úloha vznikla a bola riešená v rámci grantovej úlohy 1/4041/07.

Literatúra

- [1] ZECCOS DIMITRIOS PAVLOS *Evaluation of Static and Dynamic Properties of Municipal Solid-Waste*. 2005, University of California, Berkeley, PhD Thesis, 752 p.
- [2] YAGCI, B. Selection of Real Records for Scaling in Site Response Analyses. In *2007 NZSEE Conference*. The New Zealand Society for Earthquake Engineering, New Zeland, 7 p.
- [3] ZEKI ÖZCAN & HASAN ARMAN Ground Condition Effects on Dynamic Response of the 1995 Dinar Earthquake in Western Turkey. *The Arabian Journal for Science and Engineering*, Volume 33, Number 2A, July 2008, pp. 213-227.
- [4] STN 73 0036 *Seismické zaťaženie stavebných konštrukcií*. 1997, Úrad pre normalizáciu, metrológiu a skúšobníctvo SR, Bratislava, 68 s.
- [5] VISKUP, J., JANOTKA, V. & BUKOV, D. Vstupné údaje pri výpočte seismického zaťaženia v zmysle STN 73 0036 – Účinky zemetrasení na budovy. In *Interakcia stavieb a horninového prostredia*. Slovenská technická univerzita, Bratislava, 1999, 45-50.
- [6] EUROCODE 8 - *Design provisions for earthquake resistance of structures* - Part 1-1: General rules - Seismic actions and general requirements for structures. Europäische Vornorm ENV 1998-1-1, Brüssel, 1994.
- [7] EUROCODE 8 - *Design provisions for earthquake resistance of structures* - Part 1-2: General rules - General rules for buildings. Europäische Vornorm ENV 1998-1-2, Brüssel, 1994.
- [8] DIN 4149 *Bauten in Deutschen Erdbebengebieten Erkundung und Untersuchung des Baugrunds*. Beuth; Köln.
- [9] EUROCODE 8/DIN 4149. *Neue Regeln bei der Auslegung von Bauwerken gegen Erdbeben*. DIN Deutsches Institut für Normung e.V., 1998.
- [10] Norm SIA 160: *Einwirkungen auf Tragwerke*. Schweizerischer Ingenieur- und Architekten-Verein, Zürich, 1989.
- [11] ÖNORM B 4015 Teil 1. - *Erdbebenkräfte im Bauwesen*. Österreichisches Normungsinstitut. AustrianStandardsInstitute, Postfach 130, A-1021 Wien, Österreich, 1997.
- [12] ÖNORM B 4015, Teil 2. AustrianStandardsInstitute, Postfach 130, A-1021 Wien, Österreich, 1999.
- [13] LEDNICKÁ, M., LUŇÁČKOVÁ, B. , KALÁB, Z., HRUBEŠOVÁ, E. & KOŘÍNEK, R. Contribution to Evaluation of Technical Seismicity Effect on Buildings - Case Study. *Earth Sciences Research Journal*. 2006, Vol. 10, No. 1, pp. 7-14.
- [14] WIEGEL, R.L. & BOLT, B. *Earthquake Engineering*. Pearson Education, Limited, 1970, 518 p.
- [15] BARDET, J.P., LINN, C.H. & IDRISI, I.M. *SHAKE98. A Computer Program for Equivalent Linear Seismic Response Analyses of Horizontally Layered Soil Deposits*. University of Southern California, Report to US Geological Survey, October 1998, 41 p.

- [16] ORDONEZ, G., A. *SHAKE2000, A Computer Program for the 1-D Analysis of Geotechnical Earthquake Engineering Problems*. SHAKE2000, User's Manual, December 2006, 356 p.
- [17] Taga, Software, Inc. TELDYN User's Manual; 1982
- [18] VISKUP, J. Bratislava – PANORAMA CITY. SEIZMICKÝ PRIESKUM. Seismický posudok. Lokálne parametre seismického pohybu. SEISCOMP Bratislava, 2007, 27 s.
- [19] VISKUP, J. Polyfunkčný areál CENTRÁL. Normové a lokálne parametre seismického pohybu. Lokálne a normové spektrá seismickej odozvy. Seismický prieskum. Seismický posudok. SEISCOMP Bratislava, 2008, 38 s.
- [20] VISKUP, J. Bratislava - polyfunkčný objekt Olympia. Normové a lokálne spektrá seismickej odozvy. Seismický prieskum. Seismický posudok. SEISCOMP Bratislava, 2008, 24 s.
- [21] VISKUP, J. KOMÁRNO – KOMÁROM. Nový cestný most cez Dunaj. Seismický prieskum. Seismický posudok. SEISCOMP Bratislava, 2006, 39 s.

Oponentní posudek vypracoval:

Doc. RNDr. Blažej Pandula, Ph.D., Technická univerzita v Košiciach, F BERG